

І.Ф. Миронюк¹, Б.К. Остафійчук¹, І.І. Григорчак², В.Д. Федорів¹,
В.О. Коцюбинський¹, В.Л. Челядин¹, А.Ю. Підлужна²

Будова та електрохімічні властивості наночастинок титан діоксиду легованого ферумом

¹Прикарпатський національний університет ім. Василя Стефаника,
вул. Шевченка, 57, Івано-Франківськ, e-mail: chvlchem@rambler.ru

²Національний університет «Львівська Політехніка», вул. Степана Бандери, 12
м. Львів, e-mail: ivangr@rambler.ru

Золь-гель методом отримано наноккомпозит титан діоксид / ферум. Методами рентгеноструктурного аналізу, інфрачервоної та γ -резонансної спектроскопії встановлено фазовий склад та морфологію отриманих наноккомпозитів. Імпедансною спектроскопією досліджено вплив дисперсності наноккомпозиту, його фазового складу, ступеня структурної досконалості на кінетику процесу інтеркаляції іонів літію.

Ключові слова: титан діоксид; титан діоксид, легований залізом; літєва інтеркаляція.

Стаття постуила до редакції 07.04.2006; прийнята до друку 15.06.2006.

Вступ

Прагнення до збільшення енергетичної ємності електрохімічних джерел живлення з інтеркаляційним механізмом струмоутворюючих реакцій актуалізувало наукові пошуки, акцентовані на цілеспрямовану модифікацію будови вихідних матеріалів-„господарів”. На даний час досліджено ряд катодних матеріалів на основі оксидів металів різного хімічного складу, які здатні адсорбувати іони літію. Серед них помітне місце займає титан діоксид, який може служити топохімічно-оборотним катодним матеріалом в літєвих акумуляторах [1,2], досягаючи максимального ступеня “гостьового” навантаження $x = 1$ при розряді до 1 В (x – молярна концентрація впроваджених атомів літію, що припадає на одну формульну одиницю матеріалу – „господаря”). Проте відсутність систематичних досліджень, що стосуються застосування легуючих інгредієнтів в основній матриці катодного матеріалу та їх впливу на протікання процесу літєвого впровадження, не дозволяє максимально ефективно використовувати даний матеріал для інтеркаляційного струмоутворення.

Титан діоксид існує в трьох кристалічних модифікаціях: рутил, анатаз і брукіт [3]. Структура рутилу характеризується системою взаємно паралельних каналів, орієнтованих паралельно до площини кристалографічної грані (110). У поперечному перерізі ці канали можуть бути представлені квадратом із стороною 3,35 Å. Для

анатазу також характерна система каналів, розташованих паралельно до площини кристалографічної грані (001). Структуру анатазу і рутилу можна представити у вигляді тривимірних ланцюгів з октаєдрів TiO_6 . У кожному із них центральний іон Ti^{+4} оточений шістьма аніонами O^{2-} , чотири з яких знаходяться в екваторіальній площині, а два в аксіальних вершинах. Октаєдри в рутилі трохи деформовані, однак вони зберігають орторомбічну симетрію. В анатазі спотворення більш істотні, що призводить до втрати орторомбічної симетрії. Зв'язки $\text{Ti}-\text{O}$ в анатазі 1,980 Å (екваторіальні) і 1,985 Å (аксіальні) [4] є довшими, ніж у рутилі 1,946 Å (екваторіальні) та 1,976 Å (аксіальні) [5].

У даній роботі ставилась мета синтезувати складний наноккомпозитний матеріал TiO_2/Fe із вмістом атомів заліза в межах від 0,5 до 20 мас.%, визначити його кристалічну будову, з'ясувати можливість ізоморфного заміщення атомів титану на атоми заліза в комірці TiO_2 , а також вивчити вплив фазового складу матеріалу, дисперсності наноккомпозиту, ступеня його структурної досконалості на кінетичні параметри процесу інтеркаляції іонів літію.

I. Методи одержання наноккомпозитних матеріалів та їх дослідження

Синтез TiO_2 із вмістом заліза 0,5; 2; 5; 10 та 20 мас.% здійснювали шляхом золь-гель технології,

використовуючи прекурсори TiCl_4 та $\text{FeCl}_3 \cdot 6\text{H}_2\text{O}$ у співвідношенні, необхідному для отримання заданого нанокompозиту. Гідроліз гомогенної суміші компонентів проводили в концентрованій соляній кислоті. Конденсаційний процес утворення складного оксиду із суміші оксихлоридів титану та феруму в реакційне середовище активували введенням розчину NaOH . Після осадження твердої фази суспензії наночастинок промивали дистильованою водою до відсутності у ній іонів Na^+ та Cl^- . Після висушування порошки прожарювали при температурі 300°C впродовж 2 годин.

Рентгенодифрактометричні дослідження нанокompозитних матеріалів TiO_2/Fe здійснювали на дифрактометрі ДРОН-4-07 з фокусуванням рентгенівських променів за схемою Бреґга-Брентано у випромінюванні мідного аноду ($\lambda = 1,54178 \text{ \AA}$) та Ni -фільтром в геометрії відбивання.

Для проведення γ -резонансних спектральних досліджень ферумвмісних оксидних матеріалів використовували спектрометр ЯГРС-4М, що працював у режимі постійних прискорень. В якості джерела γ -квантів застосовували ізотоп Co^{57} активністю 50 мКи у хромовій матриці. Нестабільність нульового рівня швидкості та похибка реєстрації не перевищувала $0,5$ каналу з 256 , ширина резонансної лінії для металічного $\alpha\text{-Fe}$ становила $0,30 \text{ мм/с}$.

Структурні зміни в нанокompозитних матеріалах досліджувалися методом інфрачервоної спектроскопії. Інфрачервоні спектри пропускання (ІЧ спектри) дослідних зразків реєстрували з допомогою Фур'є-спектрометра Thermo Nicolet. Для цього наважку зразка (4 мг) змішували з KBr у співвідношенні $1:100$, подрібнювали у вібраційному млині 10 хвилин. Із приготовленої суміші пресуванням формували прозору пластинку розміром $20 \times 5 \text{ мм}^2$.

Питоми поверхню синтезованих порошків вимірювали методом адсорбції аргону з потоку аргон-гелієвої суміші при температурі $77,2 \text{ К}$, використовуючи для обліку об'єму адсорбованих газів хроматограф ХЛ-4. Похибка вимірів не перевищувала 6% . Для більш точного її визначення використовували аналізатор питомої поверхні Gemini 2360 (Micromeritics).

Кінетичні параметри електронно-діркового транспорту в досліджуваних матеріалах визначали методом імпедансної спектроскопії в діапазоні частот $10^{-2} \div 10^6 \text{ Гц}$ за допомогою вимірювального комплексу "AUTOLAB" фірми "ECO CHEMIE" (Голандія), використовуючи комп'ютерні програми FRA-2 та GPES.

Вимірювання кінетичних параметрів процесу літєвої інтеркаляції здійснено за триелектродною електрохімічною схемою, в якій у якості електроду порівняння і протиелектроду виступав металічний літій, а в якості робочого електроду – досліджуваний матеріал. Всі дослідження проведено в сухій інертній атмосфері.

II. Експериментальні результати та їх аналіз

Виявлено, що зміна масової концентрації $\text{FeCl}_3 \cdot 6\text{H}_2\text{O}$ в реакційному середовищі визначає не тільки співвідношення рентгенокристалічних алотропних модифікацій діоксиду титану (рутилу та анатазу) в нанокompозитному матеріалі TiO_2/Fe , але й впливає на його дисперсність (табл. 1).

За відсутності $\text{FeCl}_3 \cdot 6\text{H}_2\text{O}$ в результаті рідкофазного синтезу утворюється рутильна модифікація TiO_2 з незначним (до 2%) вмістом анатазу (рис. 1). При вмісті $0,5 \text{ мас. \% Fe}$ в нанокompозитному матеріалі анатаз не реєструється. Зростання заліза до 2 та 5 мас. \% феруму сприяє утворенню двохфазного матеріалу, а саме анатаз-рутильного оксиду (вміст анатазу в зразках: $3 - 44\%$, $4 - 34\%$) (табл. 1). Подальше збільшення вмісту Fe в TiO_2 призводить до формування однофазного анатазного нанокompозиту. Так при вмісті 10 мас. \% феруму на рентгенограмі 5 складного оксиду реєструються лише дифракційні лінії анатазу.

Водночас із зростанням вмісту Fe в оксидному нанокompозиті простежується тенденція до збільшення ширини дифракційних максимумів, що зумовлюється зменшенням розмірів областей когерентного розсіювання. При вмісті 20 мас. \% феруму нанокompозитний матеріал стає рентгеноаморфним.

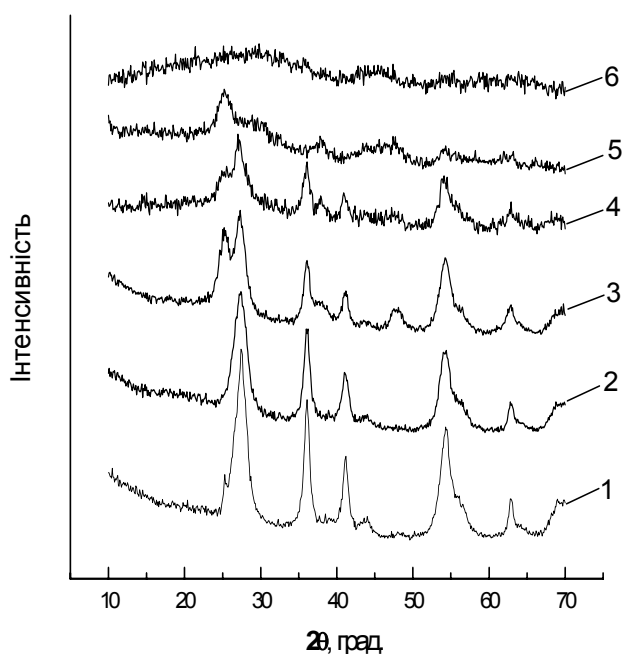


Рис. 1. Рентгенограми діоксиду титану (1), а також оксидного матеріалу TiO_2/Fe з різним вмістом атомів Fe , мас. %: $0,5 \text{ Fe}$ (2); $3 - 2 \text{ Fe}$ (3); 5 Fe (4), 10 Fe (5) і 20 Fe (6)

Таблиця 1

Структурні параметри рентгенокристалічних фаз нанокomпозиту TiO₂/Fe

Номер зразка	Вміст Fe в TiO ₂ , мас. %	Анатаз			Рутил			Питома поверхня, м ² /г	Діаметр частинок d, нм
		Вміст, %	a = b, Å	c, Å	Вміст, %	a=b, Å	c, Å		
1	0	2	3,762	9,499	98	4,595	2,965	–	–
2	0,5	–	–	–	100	4,611	2,955	180	8
3	2	44	3,802	9,426	56	4,609	2,958	80	18
4	5	34	3,830	9,275	66	4,631	2,956	350	4
5	10*	87	3,838	9,206	13	–	–	138	10
6	20	–	–	–	–	–	–	327	4
похибка		3	0,004	0,004	3	0,004	0,004	–	–

* похибка на відносний вміст і параметри ґратки для анатазу становить відповідно 5-7% та > 0,01 Å ; визначення параметрів ґратки рутилу неможливе

Таблиця 2

Параметри компонент мессбауерівських спектрів нанокomпозитів TiO₂/Fe з різним вмістом заліза

Вміст Fe в TiO ₂ , мас. %	H, кЕ	δ _s , мм/с	Δ _s , мм/с	ω, мм/с	S, %
	1	2	3	4	5
5	–	0,60	0,70	0,50	100
20	480	0,70	-0,10	0,77	10
	–	0,55	0,73	0,55	90
Похибка, %	3	0,01	0,01	0,01	–

1 – ефективне магнітне поле на ядрі заліза; 2 – ізомерний зсув відносно джерела в матриці хрому; 3 – квадрупольне розщеплення; 4 – ширина резонансної лінії; 5 – інтегральна інтенсивність.

Результати γ - резонансних спектроскопічних досліджень зразків TiO₂/5% Fe та TiO₂/20% Fe наведено в табл. 2 та на рис. 2.

Гамма - резонансний спектр як для TiO₂/5% Fe, так і для TiO₂/20% Fe (домінуюча частина) є парамагнітним дублетом з квадрупольним розщепленням ~ 0,70-0,73 мм/с, що однозначно свідчить про зарядовий стан іонів заліза +3. Ізомерний зсув спектрів лежить в межах 0,60-0,70 мм/с, що корелює з даними [6] про характеристики іонів заліза в матриці TiO₂, де було отримано значення δ = 0,76±0,02 мм/с. Отже, можна стверджувати, що іони заліза заміщують катіонні позиції у вузлах катіонних підґраток анатазу та рутилу. Для зразка TiO₂/20% Fe спостерігається секстиплет, що відповідає іонам заліза в

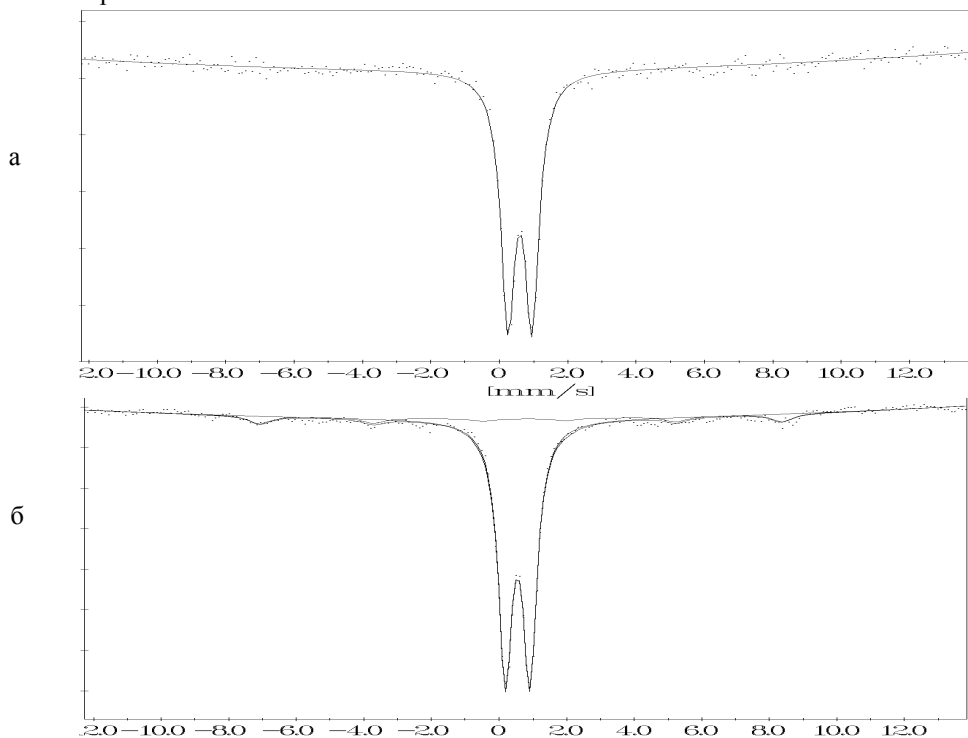


Рис. 2. Гамма-резонансні спектри оксидних систем TiO₂/5% Fe (а) та TiO₂/20% Fe (б)

магнітовпорядкованому стані.

Таким чином, результати мессбауерівської спектроскопії підтверджують дані рентгеноструктурного аналізу про відсутність оксидних залізозмісних фаз та доводять ізоморфне заміщення залізом титану в кристалічних вузлах матриці, чому сприяє близькість іонних радіусів Fe^{3+} та Ti^{4+} (0,67 та 0,64 Å відповідно). Дослідження такого заміщення та його вплив на магнітні властивості нанокompозиту проводилося також в роботі [7], де автори вказують на існування різних зарядових станів заліза в матриці TiO_2 і роблять висновок про те, що допований залізом TiO_2 не є феромагнітним напівпровідником, а швидше немагнітним напівпровідником з нанорозмірними магнітовпорядкованими включеннями.

Ізоморфне заміщення Fe^{3+} та Ti^{4+} вивчалось авторами [8] на основі даних оптичної спектроскопії в ультрафіолетовому та видимому діапазонах. Виявлено зменшення розміру кристалітів при збільшенні відношення Fe/Ti в нанокompозиті TiO_2/Fe .

Зафіксоване нами зростання вмісту анатазу в синтезованому нанокompозиті та одночасне зменшення розміру областей когерентного розсіювання із збільшенням відносного вмісту заліза (табл. 1) корелює з даними [9]. Таку тенденцію можна пояснити появою аніонних вакансій в приповерхневому шарі частинок композиту внаслідок заміщення Ti^{4+} на Fe^{3+} , в результаті чого з великою ймовірністю формується дірчаста поверхня наночастинок, що фіксується як збільшення питомої поверхні матеріалу, розширення дифракційних ліній та відносне зменшення розмірів областей когерентного розсіювання. Дефектність аніонної підґратки визначає ступінь мікропористості синтезованого матеріалу TiO_2/Fe , тому ріст відносного вмісту іонів Fe^{3+} , враховуючи меншу

густину анатазу порівняно з рутилом (3,896 та 4,249 г/см³ відповідно), призводить до збільшення ймовірності формування анатазної модифікації TiO_2 , що підтверджується даними [10]. Зміни інтегральних значень сталих ґраток фазових компонентів композиту TiO_2/Fe (табл. 1) відображають ріст дефектності кристалічних ґраток рутильної та анатазної складових. Зафіксовано анізотропний характер цих змін, який найсильніше проявляється для кристалографічного напрямку [001] в структурі анатазу. Подібний факт може свідчити про селективне заміщення іонами заліза вузлів катіонної підґратки анатазу безпосередньо в процесі синтезу, внаслідок структурної трансформації та енергетичної оптимізації високодефектних областей приповерхневих шарів частинок нанокompозиту. Доказом просторово-регулярного розміщення іонів Fe^{3+} у вузлах кристалічної ґратки анатазу можна також вважати появу при високому ступені легування магнітовпорядкованої фази, параметри мессбауерівського спектру якої близькі до даних для октаедрично координованих ядер заліза в Fe_3O_4 [11].

В ІЧ-спектрах (рис. 3) незначні за інтенсивністю смуги при 1200 см⁻¹ та 1014 см⁻¹ характерні для рутильної модифікації TiO_2 , і обумовлені коливаннями октаєдрів TiO_6 . Наявність навіть невеликої кількості атомів заліза в TiO_2 призводить до зміщення смуги при 1620 см⁻¹, яка, ймовірно, належить молекулам води, що зв'язані із структурними гідроксилами TiO_2 водневим зв'язком в короткохвильову область. При концентрації заліза 10% і більше вона реєструється при 1645 см⁻¹. В спектрах зразків 3-6 з'являється нова смуга при 1321 см⁻¹, обумовлена коливаннями октаєдрів TiO_6 структурних мотивів анатазу. Зазначена смуга реєструється в спектрах зразків, у яких присутня анатазна модифікація TiO_2 .

Аналіз імпедансних характеристик досліджуваних матеріалів дозволив з'ясувати наявність кореляції між питомим опором ρ наночастинок TiO_2/Fe (рис. 4) та їх середнім розміром (табл. 1).

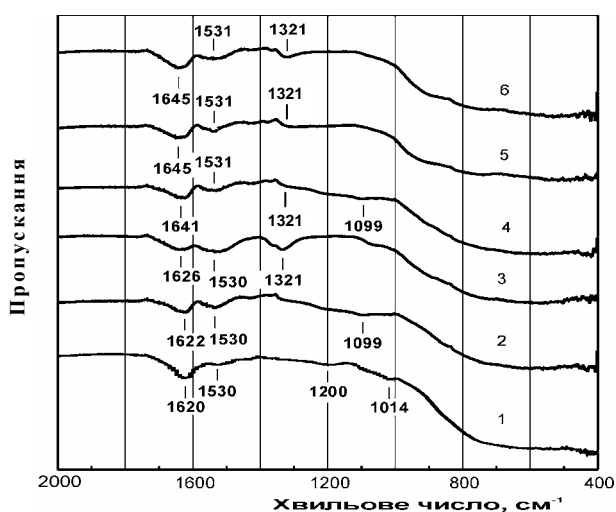


Рис. 3. ІЧ спектри титан діоксиду (1) та оксидної системи TiO_2/Fe з різним вмістом атомів феруму, мас. %: 0,5 Fe (2); 2 Fe (3); 5 Fe (4), 10 Fe (5) і 20 Fe (6)

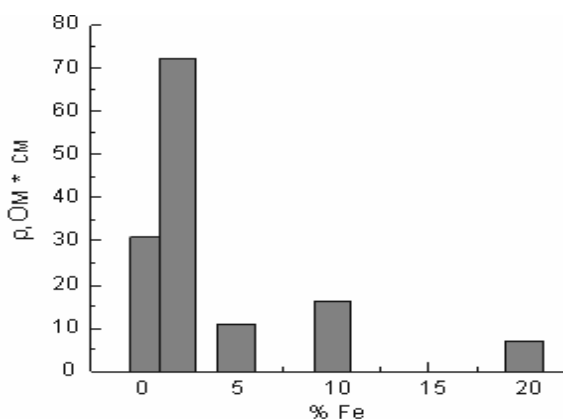


Рис. 4. Залежність питомого опору титан діоксиду від вмісту атомів заліза

Так зразки 4 та 6 порошкового титан діоксиду із вмістом феруму відповідно 5 та 20 % мають різну кристалічну будову, однак близькість середнього розміру частинок забезпечує матеріалам однаковий питомий опір.

В цей же час для зразків 3 та 4 (вміст Fe відповідно 2 та 5 %), що мають приблизно однаковий фазовий склад, але відрізняються середнім розміром частинок, питомий опір матеріалів різний.

Така особливість ферумвмісних наноконкомпозитів проявляється на діаграмах Найквіста для спресованих наноматеріалів (рис. 5). Діаграми дрібнозернистих зразків TiO_2 , що містять 0,5; 5; 10 та 20 % Fe мають форму дуги. Це означає, що розсіювання носіїв заряду здійснюється в об'ємі зерна матеріалу одним потенціальним бар'єром.

Для грубозернистого оксидного матеріалу

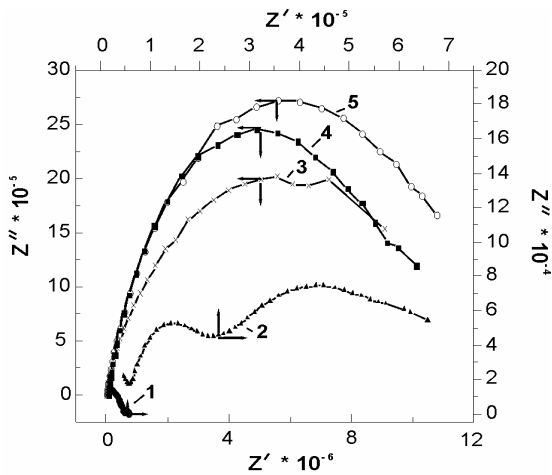


Рис. 5. Діаграми Найквіста для титан діоксиду з різним вмістом атомів заліза: 1 – 0,5 %; 2 – 2 %; 3 – 5 %; 4 – 10 %; 5 – 20 %

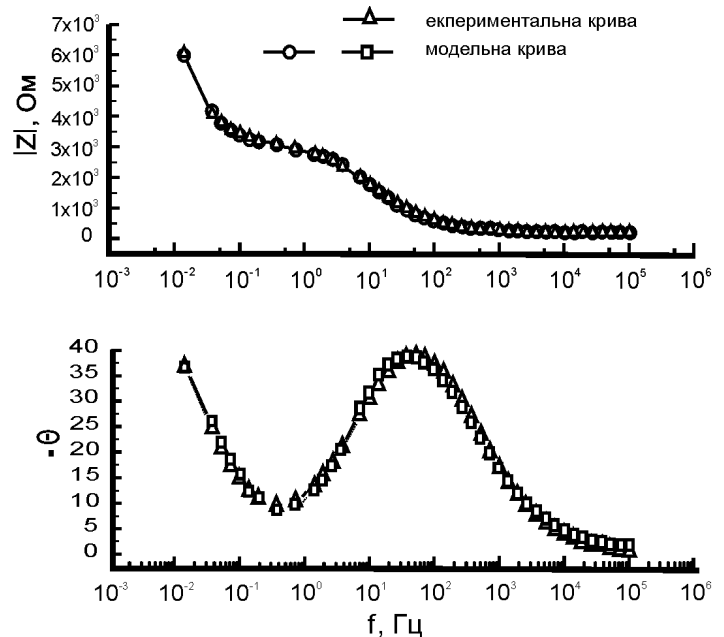
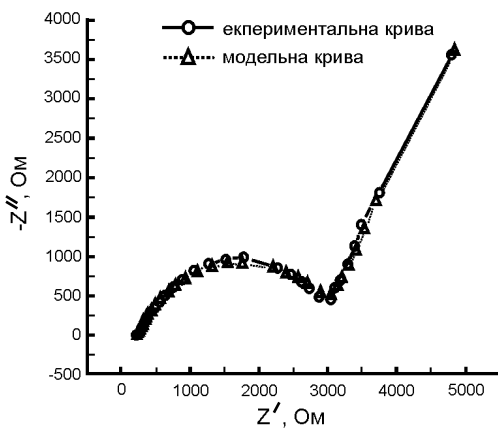


Рис. 6. Експериментальні та модельні імпедансні характеристики процесу літєвої інтеркаляції у $TiO_2 / 20\% Fe$

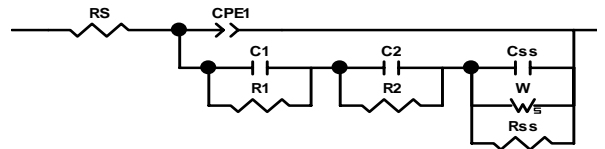


Рис. 7. Модельна еквівалентна схема для початкових стадій літєвої інтеркаляції TiO_2 легованого Fe

(вміст Fe 2 %) діаграма сформована двома дугами. Дуга в низькочастотному діапазоні обумовлена помітним вкладом у розсіювання носіїв заряду міжзеренних бар'єрів.

Враховуючи нановимірний масштаб частинок досліджуваних матеріалів можна вважати, що домінуючий вплив на рух носіїв струму здійснює ефект "graphity", який пов'язаний з наявністю великого числа поверхневих станів в околі рівня Фермі за рахунок збільшення відношення числа поверхневих атомів до об'ємних [12].

На рисунку 6 показані експериментально одержані та змодельовані за схемою імпедансні характеристики катодного матеріалу $TiO_2 / 20\% Fe$ на початковій стадії літєвої інтеркаляції. Слід зазначити, що похибка по кожному параметру не перевищувала 3 %.

Діаграми Найквіста для початкової стадії впровадження літію в титан діоксид з різним вмістом феруму є однотиповими і за формою є близькими до діаграми, що показана на рис. 6. В залежності від вмісту Fe в TiO_2 низькочастотна пряма змінює свій нахил до осі дійсної частини імпедансу. Це засвідчує визначальну роль дифузійно-кінетичних процесів при інтеркаляції іонів літію.

При виборі еквівалентної схеми початкової стадії літєвої інтеркаляції наноконкомпозиту TiO_2 / Fe враховували пористість електродного матеріалу,

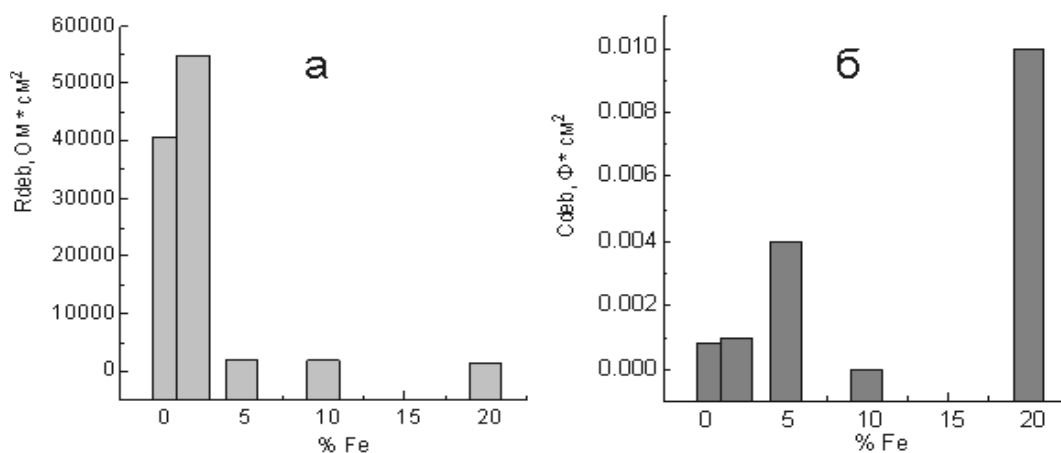


Рис. 8. Залежність опору (а) та ємності (б) області обмеженою об'ємним просторовим зарядом в титан діоксиді від вмісту феруму

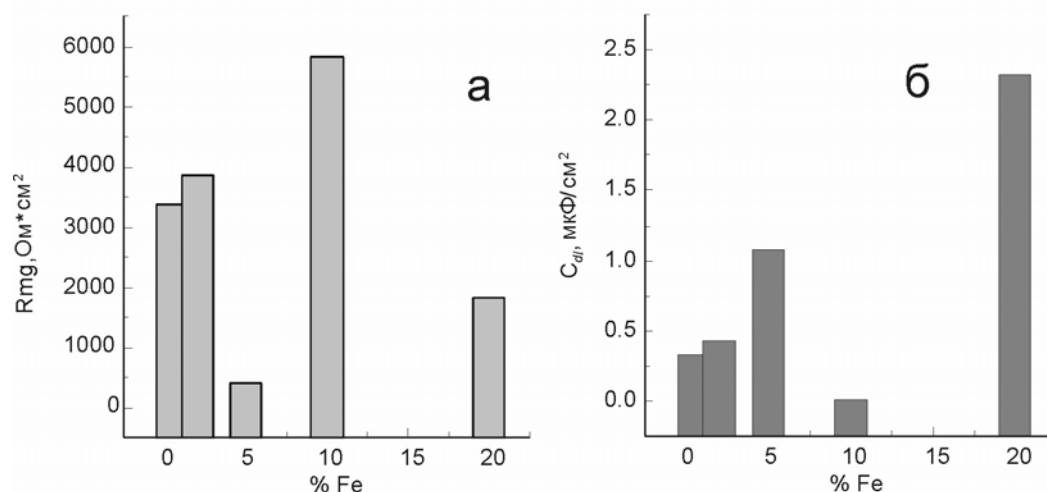


Рис. 9. Залежність опору стадії перенесення заряду через межу розділу електроліт // електрод TiO_2 / Fe (а) та ємності C_{dl} (б) від вмісту феруму

наявність міжзеренних бар'єрів, можливість формування пасивуючої плівки на поверхні частинок та присутність в матеріалі „господарі” областей, обмежених просторовим зарядом.

Еквівалентна схема, що моделює початкову стадію інтеркаляції літію в катодний матеріал TiO_2 / Fe , показана на рис. 7.

Опір R_s це послідовний еквівалентний опір, який включає в себе опір електроліту, опір підвідних провідників та контактів. Серія послідовно включених ланок $R_1 || C_1$ і $R_2 || C_2$ моделює перенесення заряду відповідно через межу розділу електроліт // титан діоксид і через міжзеренні бар'єри. Ланка $R_{ss} || C_{ss} || W$ відповідає за перенесення заряду через TiO_2 / Fe . Опір R_{ss} ілюструє перенесення власних носіїв в об'ємі електроду, а наявність дифузійного імпедансу Варбурга (W) зумовлена концентраційною поляризацією системи при впровадженні літію. В ємність матриці C_{ss} роблять внесок ємність області просторового заряду в шарі TiO_2 і геометрична ємність цього шару. Елемент

постійної фази СРЕ моделює пористість структури електроду [13].

Результати комп'ютерного розрахунку параметрів модельних еквівалентних схем (рис. 8) підтвердили також переважаючий вплив розміру частинок і на опір області, обмеженої просторовим зарядом (R_{Deb}). Максимальні значення R_{Deb} характерні для менш дисперсних матеріалів. У свою чергу, зменшення R_{Deb} повинно призвести до росту ємності цієї області, що експериментально підтверджується (рис. 8 а,б).

Важливим кінетичним параметром інтеркаляційного струмоутворення являється опір стадії перенесення заряду (R_{ct}) через межу розділу електрод // електроліт, який визначає енергетичні характеристики джерел струму. Як видно з рис. 9 (а), він за даних умов, у більшій мірі, визначається розміром частинок, тобто густиною та топологією енергетичних станів поблизу рівня Фермі.

Протилежний розмірний ефект властивий ємності подвійного електричного шару (C_{dl}) зазначеної межі розділу (рис.9, б). На рис.10 показана

залежність коефіцієнту дифузії D при впровадженні

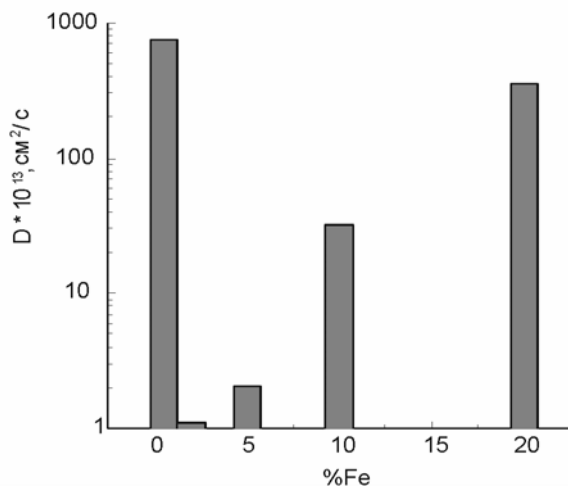


Рис. 10. Залежність коефіцієнту дифузії в нанокompозиті TiO_2 / Fe від вмісту в ньому феруму

літію в нанокompозити від вмісту феруму в TiO_2 .

Значення D корелює, як з розміром частинок (відповідальним за вплив особливостей електронної будови на коефіцієнт Вагнера), так і з фазовим складом (відповідальним за "фізичний" коефіцієнт дифузії).

Висновки

Синтез титан діоксиду легованого ферумом зольгель методом дозволяє отримувати нанокompозити TiO_2 / Fe з високою питомою поверхнею, різним фазовим складом та різним ступенем структурної досконалості.

В процесі синтезу складного оксидного матеріалу відбувається заміщення Ti^{4+} на Fe^{3+} у вузлах

катіонних підґраток анатазу та рутилу. Збільшення ступеня легування залізом призводить до домінування в нанокompозиті анатазної модифікації TiO_2 . Зафіксовано анізотропний характер змін параметрів кристалічної ґратки фаз нанокompозиту, що може свідчити про селективне заміщення іонами заліза вузлів катіонних підґраток.

Визначальною для величини значень опору стадії перенесення заряду через межу розділу електроліт || нанокompозит при електрохімічній літєвій інтеркаляції є електронна будова нанокompозиту. Саме розмір наночастинок визначає значення ємності подвійного електричного шару межі розділу електрод || електроліт та дебаєвський радіус екранування у частинці. Коефіцієнт дифузії, опір міжзерених бар'єрів та їх ємність є залежні переважно від фазового складу матеріалу і в меншій мірі від розміру наночастинок.

Миронюк І.Ф. – доктор хімічних наук, старший науковий співробітник кафедри матеріалознавства і новітніх технологій, проректор з наукової роботи;

Остафійчук Б.К. – доктор фізико-математичних наук, професор, завідувач кафедри матеріалознавства і новітніх технологій, ректор;

Григорчак І.І. – доктор технічних наук, провідний науковий співробітник;

Федорів В.Д. – кандидат фізико-математичних наук, старший науковий співробітник кафедри матеріалознавства і новітніх технологій;

Коцюбинський В.О. – кандидат фізико-математичних наук, науковий співробітник кафедри матеріалознавства і новітніх технологій;

Челядин В.Л. – аспірант кафедри матеріалознавства і новітніх технологій;

Підлужна А.Ю. – аспірант кафедри загальної хімії.

- [1] И.А. Кедринский, В.Е. Дмитренко, И.И. Груданов. *Литиевые источники тока*, Энергоатомиздат, М. 450 с. (1992).
- [2] Mariana V. Koudriachova, Nicholas M. Harrison, and Simon W. Leeuw. Effect of diffusion on lithium intercalation in titanium dioxide // *Physical Review Letters*, **86** (7), pp. 1275-1278 (2001).
- [3] Я.Г. Горощенко. *Химия титана*. Наукова думка, К., 1, 416 с. (1970).
- [4] A. Fahmi, C. Minot, B. Silvi, M. Cause. Theoretical analysis of the structure of titanium dioxide crystals // *Phys. Rev. B*, **47**(18), pp. 11717-11724 (1993).
- [5] J.K. Burdett, T. Hughbands, G.J. Miller, J.W. Richarddson, J.V. Smith. Structural-electronic relationship of the rutile and anatase polymorphs on titanium dioxide at 15 and 295 K // *J. Amer. Chem. Soc.* **109** (17), pp. 3639-3646 (1987).
- [6] *Химические применения мессбауеровской спектроскопии* / Под. ред. В.И.Гольданского. – М.: Мир, 503 с. (1970).
- [7] S.A. Chambers, Y.J. Kim, J. Osterwalder, R.P. Sears, B. Taylor, B. Sinkovic, S. Thevuthasan, T. Droubay, V. Shutthanandan, S.M. Heald, C.M. Wang, A.S. Lea. MBE Growth and Properties of Fe- Cr- and Mn-doped TiO_2 // *Nanoscale Science and Technology Workshop University of Washington-Seattle*, p.18, (2003).
- [8] Misook Kang, Suk-Jin Chounga, Jong Yul Park. Photocatalytic performance of nanometer-sized $\text{Fe}_x\text{O}_y/\text{TiO}_2$ particle synthesized by hydrothermal method // *Catalysis Today*, 87 pp. 87-97 (2003).
- [9] N. Sijakovic-Vujici'c, M. Goti'c, S.Musi'c, M. Ivanda S. Popovi'c. Synthesis and Microstructural Properties of Fe-TiO_2 Nanocrystalline Particles Obtained by a Modified Sol-Gel Method // *Journal of Sol-Gel Science and Technology*, 30, pp. 5-19 (2004).

- [10] Yu-Hong Zhang, Armin Reller. Nanocrystalline iron-doped mesoporous titania and its phase transition // *J. Mater. Chem.*, 11, pp. 2537–2541 (2001).
- [11] И.П. Суздалев. *Динамические эффекты в гамма-резонансной спектроскопии*. Атомиздат, М., 192 с. (1979).
- [12] С.В. Kwon, S.J. Hwang, A. Poquet, N. Trucil, G. Campet, J. Portier and J.H. Choy. Nanocrystalline materials for Lithium batteries // *New trends in intercalation compounds for energy storage*. Kluwer Academic Publishers, pp. 439-446 (2002).
- [13] А.Ю. Рычагов, Н.А. Уриссон, Ю.М. Вольфович. Электрохимические характеристики и свойства поверхности активированных углеродных электродов двойнослойного конденсатора // *Электрохимия*, 37 (11), сс. 1348-1356 (2001).

I.F. Myroniuk¹, B.K. Ostafiychuk¹, I.I. Grygorchak², V.D. Fedoriv¹,
V.O. Kotsyubynsky¹, V.L. Chelyadyn¹, A.Yu.Pidluzhna²

Structure and Electrochemical Properties of Nanoparticles of Titania Doped by Iron

¹*Precarpathion National University named after V. Stefanyk,
Shevchenko Str., 57, Ivano-Frankivsk, e-mail: chylchem@rambler.ru*

²*National University "Lvivska Polithechnika", Bandery Str., 12, Lviv, e-mail: ivangr@rambler.ru*

Titanium dioxide/iron nanocomposite was prepared by sol-gel method. The phase structure and morphology of particles of received nanocomposites were determined by X-ray-structural, infra-red and γ -resonant spectroscopy methods. The influence of material particle sizes, its phase content, the degree of structure perfection was investigated by the impedance spectroscopy.

Key words: Titanium Dioxide, Iron-doped titania, Lithium intercalation.